

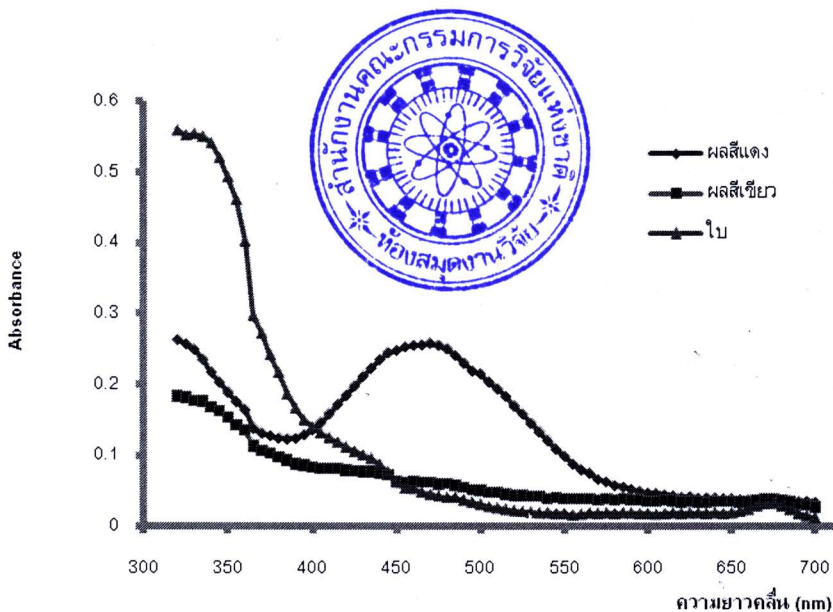
## บทที่ 4 ผลการวิจัยและอภิปราย

### 4.1 การศึกษาปัจจัยที่เหมาะสมต่อการวิเคราะห์กิจกรรมเอนไซม์จากพริก

ด้วยการตรวจสอบกิจกรรมเอนไซม์ต่าง ๆ ในงานวิจัยนี้เป็นการศึกษาปฏิกิริยาแบบ in vitro ดังนั้นจึงจำเป็นต้องมีการศึกษาถึงปัจจัยที่มีผลต่อการติดตามปฏิกิริยา ดังนี้ คือ ชนิดของเนื้อเยื่อ ปริมาณโปรตีน ปริมาณสับสเตรต และเวลาที่เหมาะสมต่อการทำปฏิกิริยาต่าง ๆ

#### 4.1.1 สเปกตรัมของสารสกัดโปรตีนจากเนื้อเยื่อพริก (ผล และใบ)

เนื่องด้วยในการวิเคราะห์กิจกรรมเอนไซม์ต่าง ๆ ด้วยเทคนิคทางสเปกโตรโฟโตเมตรีนั้น จำเป็นต้องให้สารละลายโปรตีนที่สกัดได้ไม่รบกวนการดูดกลืนแสง ณ ความยาวคลื่นที่ใช้ในการทำการวิเคราะห์ ดังนั้นจึงได้ทำการเปรียบเทียบสเปกตรัมของสารสกัดจากเนื้อเยื่อพริก 0.1 g ด้วย extraction buffer (50 mM phosphate buffer pH 6.0) ปริมาตร 1 ml เจือจางให้มีความเข้มข้น 1: 10 เท่า แล้วทำการวัดค่าการดูดกลืนแสงช่วงความยาวคลื่น 300 – 700 nm พบว่าโปรตีนที่ได้จากเนื้อเยื่อพริกสีแดงมีการดูดกลืนแสงสูงที่ 407, 470 และ 550 กว่าโปรตีนที่ได้จากเนื้อเยื่อผลพริกและใบพริกสีเขียว



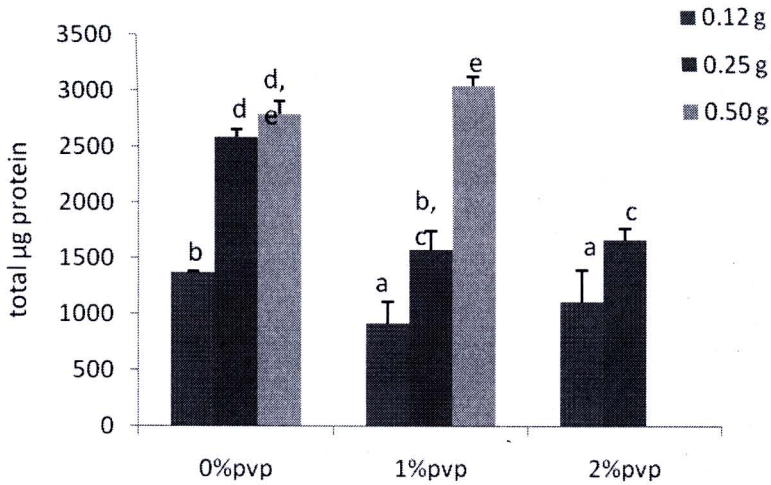
รูปที่ 4.1 สเปกตรัมของสารสกัดจากผลและใบพริก

พบว่าผลสีแดงมีการดูดกลืนแสง ณ ความยาวคลื่น 405, 550 และ 470 nm ได้สูงกว่าเนื้อเยื่อใบ ประกอบกับการสกัดโปรตีนในผลมีไขมันจากผลพริกจำนวนมาก ดังนั้นจึงเลือกใช้ใบในการวิเคราะห์กิจกรรมเอนไซม์ในการทดลองลำดับต่อไป

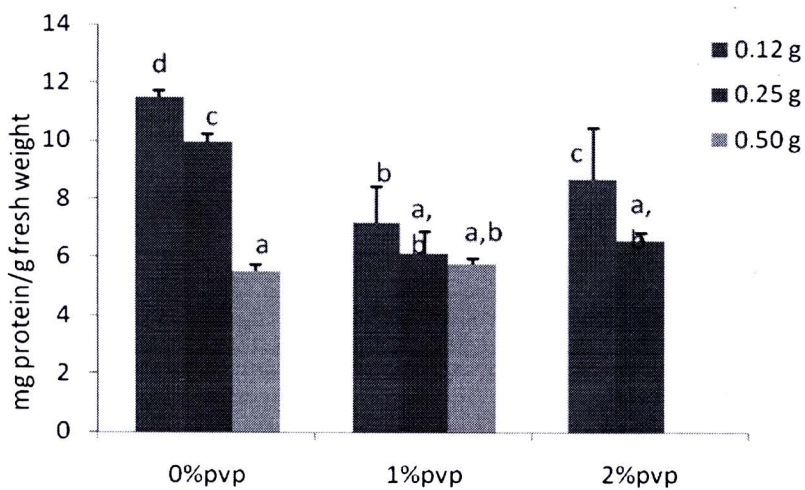
#### 4.1.2 ผลของน้ำหนักใบพริกและ PVP ต่อปริมาณโปรตีนที่สกัดได้

การเปรียบเทียบน้ำหนักใบพริก 0.1, 0.2 และ 0.5 กรัม ต่อการสกัดโปรตีนพบว่าใบพริก 0.1 g ให้ปริมาณโปรตีนต่อหน่วยปริมาตรที่สกัดและต่อหน่วยน้ำหนักสูงสุดเมื่อวิเคราะห์ด้วยวิธี Bradford (1976) ดังรูปที่ 4.2 แต่อย่างไรก็ตามพบว่าผลการวิเคราะห์ที่ได้ อาจเป็นผลเนื่องจากการรบกวนจากสารประกอบฟีนอลิกที่เกิดจากการทำให้เซลล์แตก ดังนั้นจึงได้ทดสอบใช้โพลีไวนิลไพร์โรลิโดน (polyvinylpyrrolidone, PVP) ในการกำจัดสารประกอบฟีนอลิก

นอลักษณะสกัด พบว่าการใช้ 1% และ 2% PVP ทำให้ได้ปริมาณโปรตีนต่อหน่วยปริมาตรสูงขึ้นอย่างมีนัยสำคัญ ( $P < 0.05$ ) แต่ความเข้มข้นของ PVP ที่ใช้ไม่มีผลต่อปริมาณโปรตีนที่สกัดได้ แต่อย่างไรก็ตาม แม้ว่าที่โบพริก 0.5 กรัม จะให้ปริมาณโปรตีนต่อปริมาตรมากที่สุด แต่เมื่อทำการเปรียบเทียบความสามารถในการละลายของโปรตีนต่อน้ำหนักสด 1 กรัม พบว่าเมื่อใช้โบพริกปริมาณมากจะมีการละลายของโปรตีนได้ต่ำกว่าการใช้ปริมาณโปรตีนน้อย (รูปที่ 4.3) ดังนั้นจึงเลือกโบพริกหนัก 0.25 กรัม และ 1% PVP ใน 50 mM phosphate buffer pH 7.0 ในการสกัดโปรตีนเพื่อใช้ติดตามกิจกรรมเอนไซม์ต่าง ๆ ในลำดับถัดไป



รูปที่ 4.2 ผลของ PVP และน้ำหนักโบพริกที่มีต่อปริมาณโปรตีนต่อปริมาตรที่สกัดได้ ( $n=7, a, b, c, d, e, p < 0.05$ )



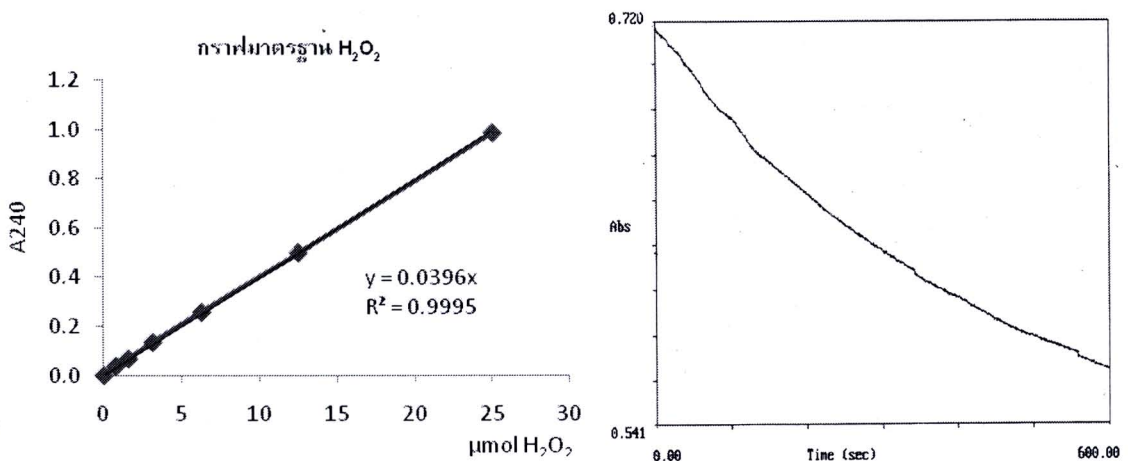
รูปที่ 4.3 การละลายของโปรตีนต่อน้ำหนักสด 1 กรัม ( $n=7, a, b, c, d, e, p < 0.05$ )

#### 4.1.2 การวิเคราะห์กิจกรรมเอนไซม์อะซีเตสจากใบพริก

ด้วยการวิเคราะห์กิจกรรมเอนไซม์อะซีเตส จากใบพริกในงานนี้ต้องการให้สามารถวิเคราะห์ได้รวดเร็ว โดยใช้ปริมาตรในการวิเคราะห์ให้น้อย ดังนั้นจึงได้มีการเปรียบเทียบวิธีการมาตรฐานกับวิธีการดัดแปลงให้มีปริมาตรในการวิเคราะห์ที่ลดลง พบว่าสารสกัดโปรตีนจากใบพริกมีกิจกรรมของเอนไซม์อะซีเตสในปริมาณที่ตรวจสอบได้ เมื่อใช้วิธีดั้งเดิมของ Chance and Maehly (1955) และ Góth (1991) เมื่อใช้ปริมาตรในการทดลอง 1 ml และสามารถดัดแปลงให้วิเคราะห์ได้ในปริมาตร 200  $\mu$ l

##### 4.1.2.1 การวิเคราะห์กิจกรรมอะซีเตสตามวิธีของ Chance & Maehly (1955)

การทดสอบวัดปริมาณ  $H_2O_2$  ปริมาณ 0 – 30  $\mu$ mol ในสารละลาย 50 mM phosphate buffer pH 7.0 ปริมาตร 1 ml ด้วยการดูดกลืนแสงที่ 240 nm พบว่าให้ความสัมพันธ์เป็นเส้นตรง ( $R^2 = 0.9995$ ) เมื่อติดตามปริมาณ  $H_2O_2$  ที่เหลืออยู่ในปฏิกิริยาการสลาย  $H_2O_2$  โดยอะซีเตสจากใบพริกเป็นเวลา 600 วินาที พบว่าสามารถสลาย  $H_2O_2$  ได้ 0.1  $\mu$ mol/วินาที/ 2.5  $\mu$ g protein ซึ่งแสดงว่าในใบพริกมีเอนไซม์อะซีเตสเมื่อตรวจสอบด้วยวิธีของ Chance & Maehly (1955)



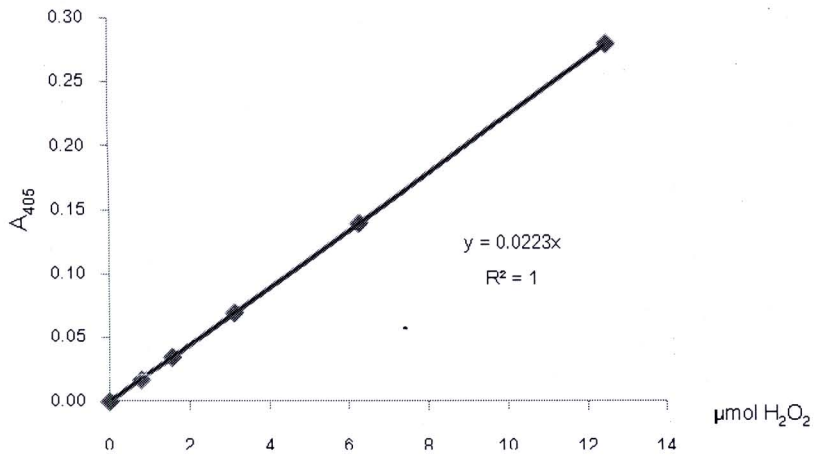
รูปที่ 4.4 การติดตามกิจกรรมเอนไซม์อะซีเตสจากใบพริกตามวิธีของ Chance and Maehly (1995)

##### 4.1.2.2 การวิเคราะห์กิจกรรมอะซีเตสตามวิธีของ Góth (1991)

เป็นการติดตามอะซีเตสโดยวัดปริมาณ  $H_2O_2$  ที่เหลืออยู่ด้วยการทำปฏิกิริยากับ ammonium molybdate แล้วให้สารประกอบสีเหลืองที่สามารถวัดการดูดกลืนแสงได้ที่ความยาวคลื่น 405 nm ในการทดลองนี้ได้เปรียบเทียบการวิเคราะห์กิจกรรมเมื่อใช้ working volume ปริมาตร 1 ml และ 200  $\mu$ l

##### ความสามารถในการทำปฏิกิริยาระหว่าง $H_2O_2$ และ ammonium molybdate (ปริมาตร 1 ml)

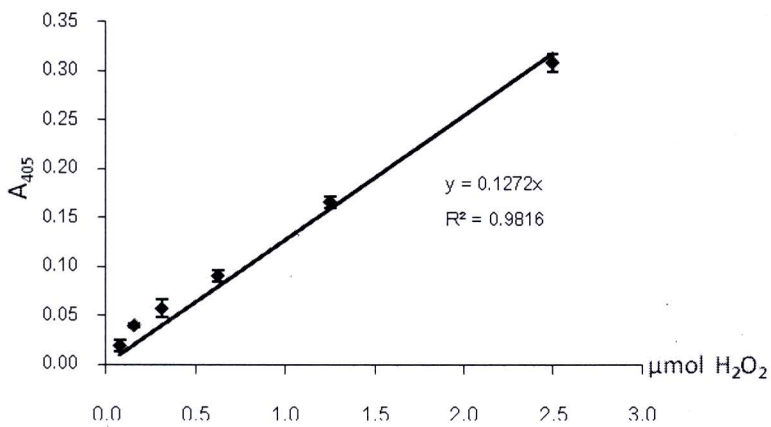
เพื่อให้ความสามารถในการทำปฏิกิริยาระหว่าง  $H_2O_2$  ที่เหลือกับ 32.4 mM ammonium molybdate จึงได้ใช้  $H_2O_2$  ที่มีความเข้มข้น 6.25, 12.5, 25, 50 และ 100 mM คิดเป็น 0.78125, 1.5625, 3.625, 6.25, 12.5  $\mu$ mol แล้ววัดการดูดกลืนแสงที่ความยาวคลื่น 405 nm พบว่า 32.4 mM ammonium molybdate ปริมาตร 0.5 ml สามารถทำปฏิกิริยากับ  $H_2O_2$  ได้สมบูรณ์ในช่วง 0 – 100 mM ปริมาตร 0.5 ml และให้ความสัมพันธ์เป็นเส้นตรง ( $R^2 = 1$ ) ดังรูปที่ 4.5



รูปที่ 4.5 การทำปฏิกิริยาของ 32.4 mM ammonium molybdate กับ H<sub>2</sub>O<sub>2</sub> ความเข้มข้นช่วง 0 – 100 mM ปริมาตรในการทำปฏิกิริยา 1 ml (n=3)

**ความสามารถในการทำปฏิกิริยาระหว่าง H<sub>2</sub>O<sub>2</sub> และ ammonium molybdate (ปริมาตร 200 μl)**

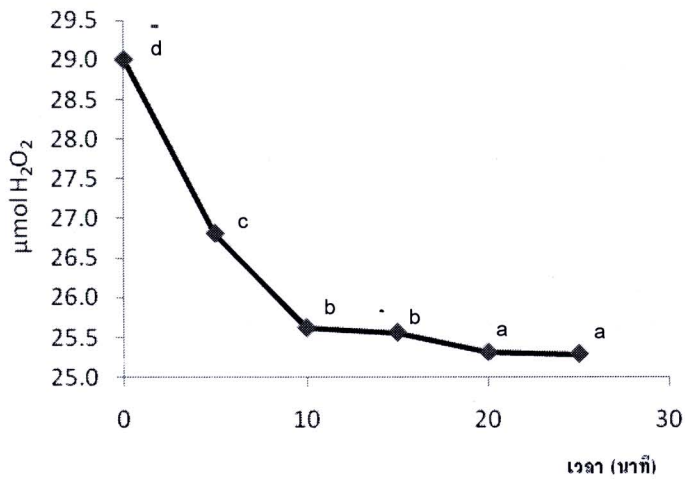
เมื่อทำการวิเคราะห์โดยใช้ 32.4 mM ammonium molybdate ปริมาณ 100 μl ทำปฏิกิริยากับ H<sub>2</sub>O<sub>2</sub> ที่มีความเข้มข้น 3.125, 6.25, 12.5, 25, 50 และ 100 mM ใน 50 mM phosphate buffer 100 μl คิดเป็น 0.078125, 0.15625, 0.3125, 0.625, 1.25, 2.5 μmol ตามลำดับ แล้ววัดการดูดกลืนแสงที่ความยาวคลื่น 405 nm พบว่าสามารถทำปฏิกิริยาได้สมบูรณ์ในช่วงความเข้มข้นดังกล่าว แต่อย่างไรก็ตามปริมาณ H<sub>2</sub>O<sub>2</sub> ช่วง 0.625 – 25 mM หรือ 0.15625, 0.3125, 0.625 μmol เป็นช่วงที่ให้ความสัมพันธ์ในการทำปฏิกิริยาเป็นเส้นตรงที่สุด (R<sup>2</sup> = 1)



รูปที่ 4.6 การการทำปฏิกิริยาของ 32.4 mM ammonium molybdate กับ H<sub>2</sub>O<sub>2</sub> ความเข้มข้นช่วง 0 – 100 mM ปริมาตรในการทำปฏิกิริยา 200 μl (n=3)

**เวลาที่เหมาะสมในการติดตามปฏิกิริยาอะตอมเลส (ปริมาตร 1 ml)**

เมื่อติดตามปฏิกิริยาเกิดขึ้นภายในเวลา 25 นาที พบว่าให้ปริมาณ H<sub>2</sub>O<sub>2</sub> ที่เหลืออยู่คงที่ตั้งแต่เวลา 20 นาทีเป็นต้นไป และสามารถติดตามความเร็วของปฏิกิริยาในช่วง 0 – 10 นาทีได้ คิดเป็น 0.35 หน่วยเอนไซม์ (รูปที่ 4.7)

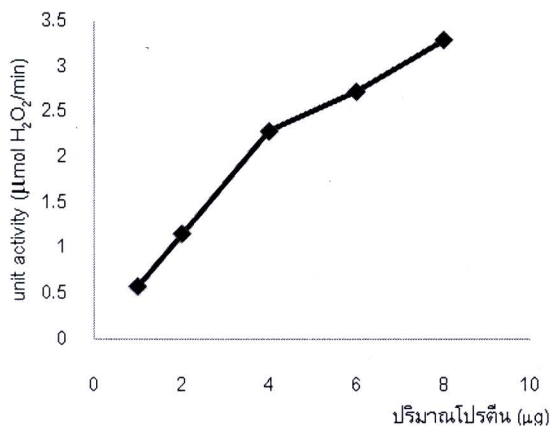


**รูปที่ 4.7** การติดตามกิจกรรมคะตะเลสตามวิธีของ Góth (1991)  
 ปริมาตรในการทำปฏิกิริยา 1 ml (n=3 และ a,b,c,d = p< 0.05)

แต่อย่างไรก็ตามเมื่อเปรียบเทียบปริมาณการใช้สารสกัดโปรตีนในการวิเคราะห์กิจกรรมคะตะเลสในปฏิกิริยาขนาด 1 ml นั้นต้องใช้ปริมาณมากกว่าปฏิกิริยาขนาด 200 μl ประมาณ 5 เท่าเพื่อให้ได้หน่วยเอนไซม์เท่ากัน ดังนั้นในการทดลองลำดับถัดไปเป็นการศึกษาปัจจัยในการวิเคราะห์กิจกรรมคะตะเลสสำหรับปฏิกิริยาขนาด 200 μl ได้แก่ปริมาณโปรตีน ปริมาณสับสเตรต และเวลาที่เหมาะสมในการทำปฏิกิริยา

#### ปริมาณโปรตีนที่เหมาะสม

เมื่อให้ปริมาณสับสเตรดคงที่ ที่ 12.5 mM และติดตามปฏิกิริยาที่เวลา 4 นาที พบว่าปริมาณโปรตีนช่วง 1 – 8 μg สามารถให้ความสัมพันธ์กับกิจกรรมคะตะเลสสูงขึ้น หมายถึงในช่วงเวลา 4 นาทีนั้นมีสารตั้งต้นที่เกินพอเพื่อใช้ในการติดตาม ดังรูปที่ 4.8

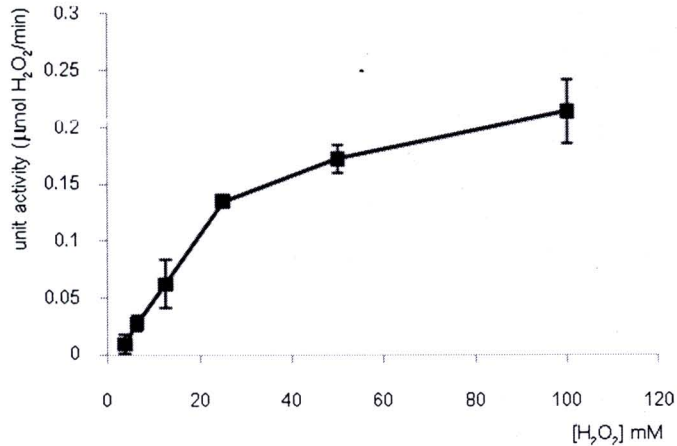


**รูปที่ 4.8** ผลของปริมาณโปรตีนต่อกิจกรรมคะตะเลสปริมาณในการทำปฏิกิริยา 200 μl  
 (n=4)

#### ปริมาณสับสเตรดที่เหมาะสม

เมื่อให้ปริมาณโปรตีนคงที่ที่ 2 μg และติดตามปฏิกิริยาที่เวลา 4 นาที พบว่าปริมาณสับสเตรดช่วง 0 – 100 mM พบว่า H<sub>2</sub>O<sub>2</sub> ช่วง 3.625-25 mM ให้อัตราการสลาย H<sub>2</sub>O<sub>2</sub> ได้สูงและคงที่ในช่วง 50-100 mM H<sub>2</sub>O<sub>2</sub> (รูปที่

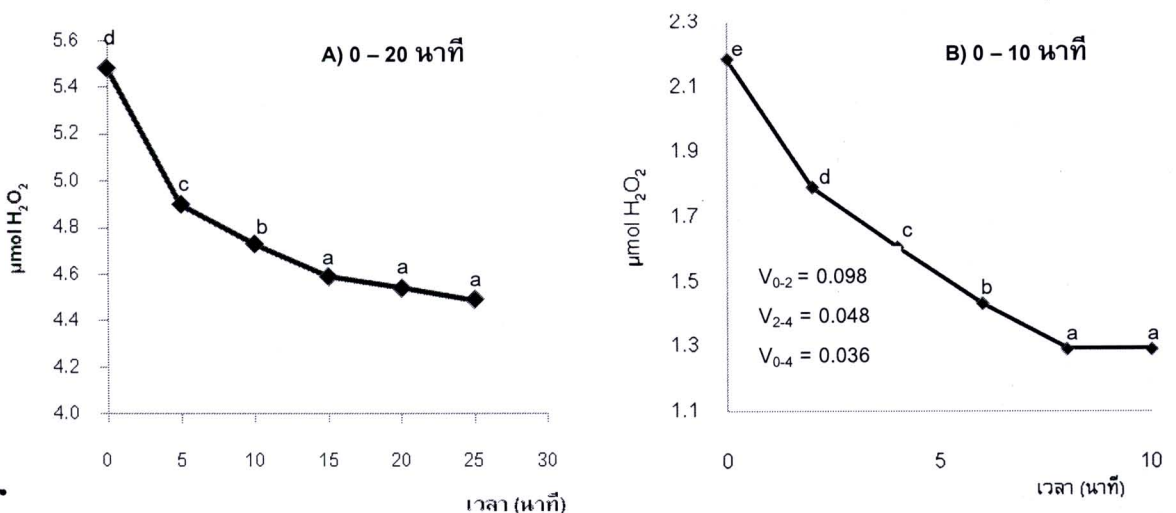
4.9) แสดงให้เห็นว่า 50 mM H<sub>2</sub>O<sub>2</sub> ขึ้นไปเป็นปริมาณมากเกินไปสำหรับการติดตามกิจกรรมอะตอมไฮโดรเจน 2 µg ตามทฤษฎีของ Michaelis-Menten แต่อย่างไรก็ตามการใช้ปริมาณ H<sub>2</sub>O<sub>2</sub> มากเกินไปสำหรับปฏิกิริยานี้จะทำให้เกิดการติดตาม H<sub>2</sub>O<sub>2</sub> ที่เหลือในปฏิกิริยามากเกินไป ดังนั้นจึงเลือกใช้ 50 mM H<sub>2</sub>O<sub>2</sub> ในการวิเคราะห์กิจกรรมเอนไซม์อะตอมไฮโดรเจน



รูปที่ 4.9 ผลของปริมาณสับสเตรตต่อกิจกรรมอะตอมไฮโดรเจนปริมาณ 200 µl (n=3)

#### เวลาที่เหมาะสมในการติดตามปฏิกิริยาอะตอมไฮโดรเจน (ปริมาตร 200 µl)

เมื่อติดตามปฏิกิริยาเกิดขึ้นภายในเวลา 25 นาที พบว่าให้ปริมาณ H<sub>2</sub>O<sub>2</sub> ที่เหลืออยู่คงที่ตั้งแต่เวลา 15 นาทีเป็นต้นไป และสามารถติดตามความเร็วของปฏิกิริยาได้สูงในช่วง 0 – 5 นาทีได้ (รูปที่ 4.10 A และ B) โดยในช่วง 0-2 นาทีมีอัตราเร็วการเกิดปฏิกิริยา 0.098 หน่วย/นาที ในช่วง 2-4 นาทีมีอัตราเร็ว 0.048 หน่วย/นาที และช่วง 0-4 นาทีมีอัตราเร็ว 0.036 หน่วย/นาที ดังนั้นในการติดตามปฏิกิริยาอะตอมไฮโดรเจนในลำดับถัดไปได้ใช้เวลาในการจำปฏิกิริยาใน 2 นาที



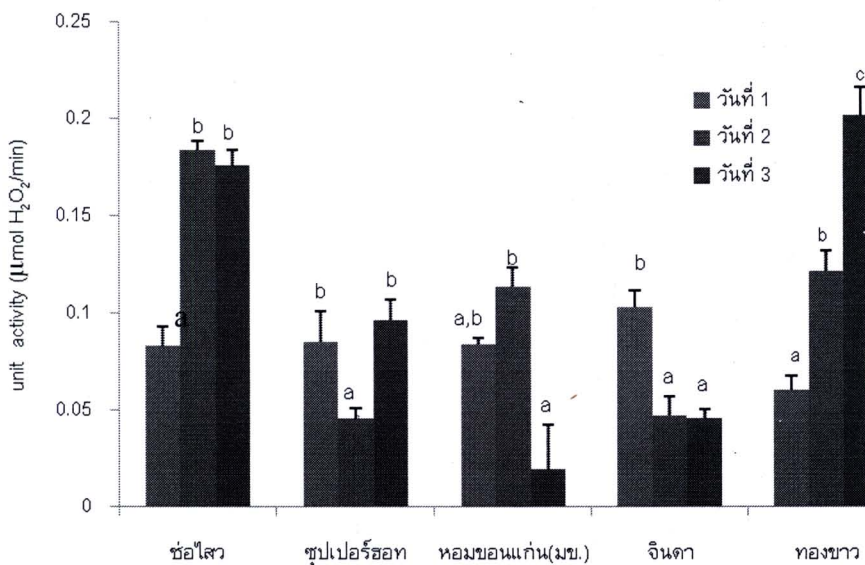
รูปที่ 4.10 การติดตามกิจกรรมอะตอมไฮโดรเจนตามวิธีของ Góth (1991) ปริมาตรในการทำปฏิกิริยา 200 µl (n=4 a,b,c,d,e = p< 0.05)

ดังนั้นในการวิเคราะห์กิจกรรมเอนไซม์อะซีเตเลสในการทดลองต่อไปได้ใช้วิธีการดัดแปลงของ Góth (1991) โดยกำหนดให้มีปริมาตรในการทำปฏิกิริยาเท่ากับ 200  $\mu\text{l}$  โดยกำหนดให้ใน 100  $\mu\text{l}$  มีปริมาณสับสเตรต  $\text{H}_2\text{O}_2$  50 mM ปริมาณโปรตีน 2  $\mu\text{g}$  ทำปฏิกิริยาเป็นเวลา 2 นาที และหยุดปฏิกิริยาด้วยการเติม 32.4 mM ammonium molybdate ปริมาตร 100  $\mu\text{l}$  และวัดค่าการดูดกลืนแสงที่ 405 nm และรายงานกิจกรรมเอนไซม์โดย 1 หน่วย เท่ากับการสลาย  $\text{H}_2\text{O}_2$  1  $\mu\text{mol}$ /นาที

### การทดสอบปฏิกิริยาอะซีเตเลสจากใบพริกสายพันธุ์ต่าง ๆ

เพื่อทำการทดสอบเปรียบเทียบความสามารถในการนำไปใช้ของวิธีที่พัฒนาแล้ว ได้นำใบพริก 5 สายพันธุ์ ได้แก่ สายพันธุ์ข้อไสว สายพันธุ์ซูปเปอร์ฮอท สายพันธุ์หอมขอนแก่น (มข.) สายพันธุ์จินดา และสายพันธุ์ทองขาว อายุ 3 เดือน มาสกัดโปรตีนเพื่อทำการทดสอบปฏิกิริยาอะซีเตเลสตามวิธีดัดแปลงที่ได้ โดยทดสอบกิจกรรมอะซีเตเลสของใบพริกที่เก็บจากตำแหน่งที่แตกต่างกัน พบว่าความแตกต่างของอายุใบที่แตกต่างกันมีผลให้กิจกรรมเอนไซม์ต่างกันด้วย (รูปที่ 4.11) ทั้งนี้พบว่าเมื่อใช้ต้นกล้าที่มีอายุ 28 และ 29 วัน มีกิจกรรมเอนไซม์อะซีเตเลสที่ใกล้เคียงกันได้แก่  $0.11 + 0.002$  และ  $0.95 + 0.13 \mu\text{mol H}_2\text{O}_2$  ที่ถูกกำจัด/นาที

ดังนั้นเพื่อให้สามารถเปรียบเทียบกิจกรรมอะซีเตเลสของพริกต่างสายพันธุ์ได้จึงต้องทำการควบคุมอายุของตัวอย่างพริกที่ใช้ในการทดสอบให้มีอายุเท่ากันใบลำดับถัดไป

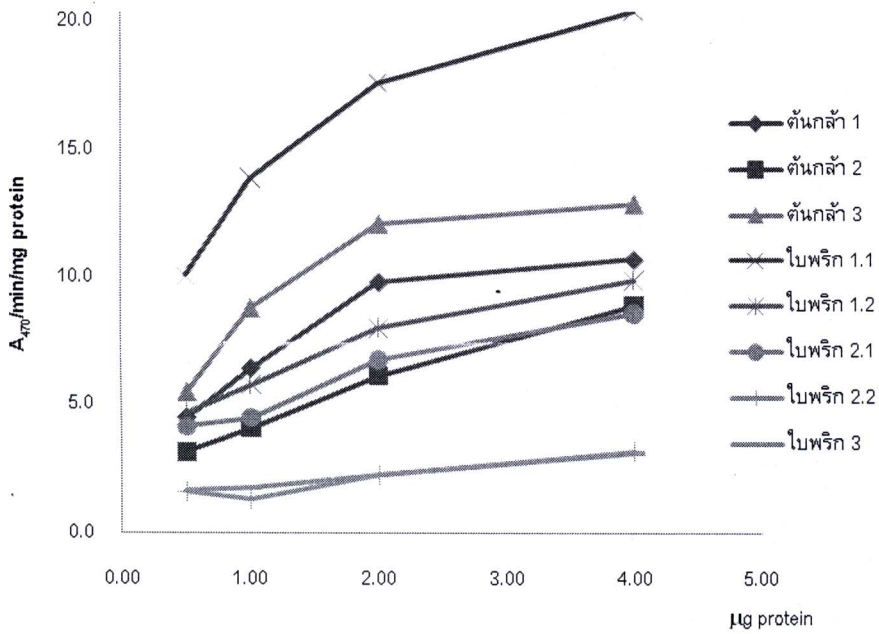


รูปที่ 4.11 กิจกรรมอะซีเตเลสของใบพริก 5 สายพันธุ์ที่มีอายุต่างกัน (n=4 a,b,c = p<0.05)

### 4.1.3 การวิเคราะห์กิจกรรมเอนไซม์เปอร์ออกซิเดส

#### 4.1.3.1 ด้วยวิธีทางสเปคโตรสโคปี (Chance and Maehly, 1955)

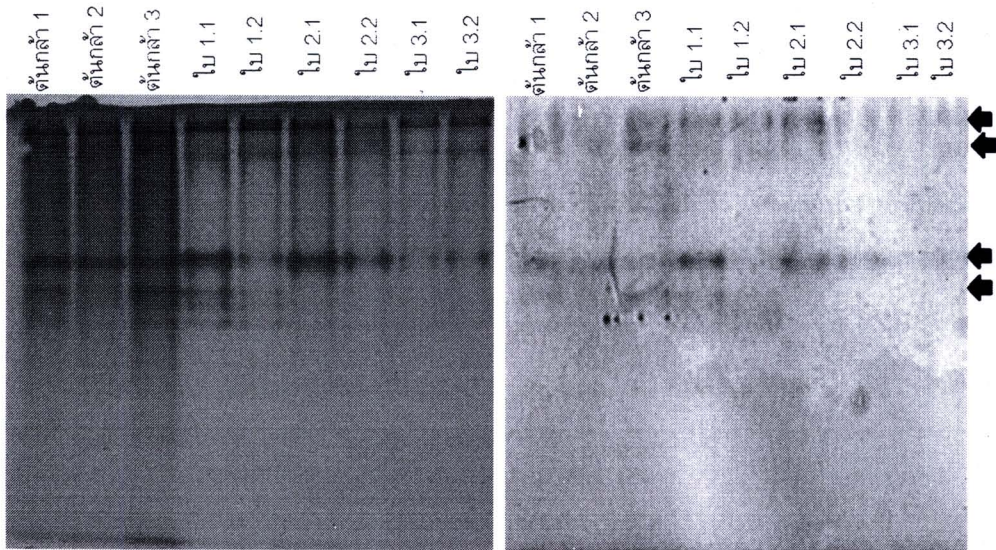
ได้ทำการศึกษาผลของปริมาณโปรตีนที่มีต่อการดำเนินปฏิกิริยาเมื่อใช้ 30 mM Guaiacol และ 20 mM  $\text{H}_2\text{O}_2$  เป็นสับสเตรต โดยใช้สารสกัดโปรตีนจากใบพริกต่างสายพันธุ์ 3 ชนิดและต้นกล้าพริกพันธุ์จินดา พบว่ามีกิจกรรมเปอร์ออกซิเดสในการเร่งปฏิกิริยาได้สูงสุดที่ 2  $\mu\text{g}$  protein เมื่อให้สับสเตรตมีความเข้มข้นดังกล่าว ดังรูปที่ 4.12 แต่อย่างไรก็ตามพบว่าอายุของใบพริกและต้นกล้ามีผลต่อกิจกรรมของเอนไซม์ดังกล่าว



รูปที่ 4.12 กิจกรรมเปอร์ออกซิเดสของใบพริกและตันกล้า

#### 4.1.3.2 ด้วยวิธีทางอิเล็กโตรโฟรีซิส (Shimoni and Reuveni, 1988)

การแยกโปรตีน 20 µg โดย 12% ND-PAGE และย้อมด้วย Guaiacol เพื่อดูตำแหน่งของ peroxidase isoenzyme พบว่าเนื้อเยื่อใบพริกและตันกล้ามีจำนวน isoenzyme อย่างน้อย 4 ชนิด และมีความสอดคล้องกับกิจกรรมเอนไซม์ กล่าวคือ ในใบพริกชนิดที่ 1.1 มีปริมาณเปอร์ออกซิเดสสูงกว่าใบชนิดอื่นและตันกล้า ดังรูปที่ 4.13



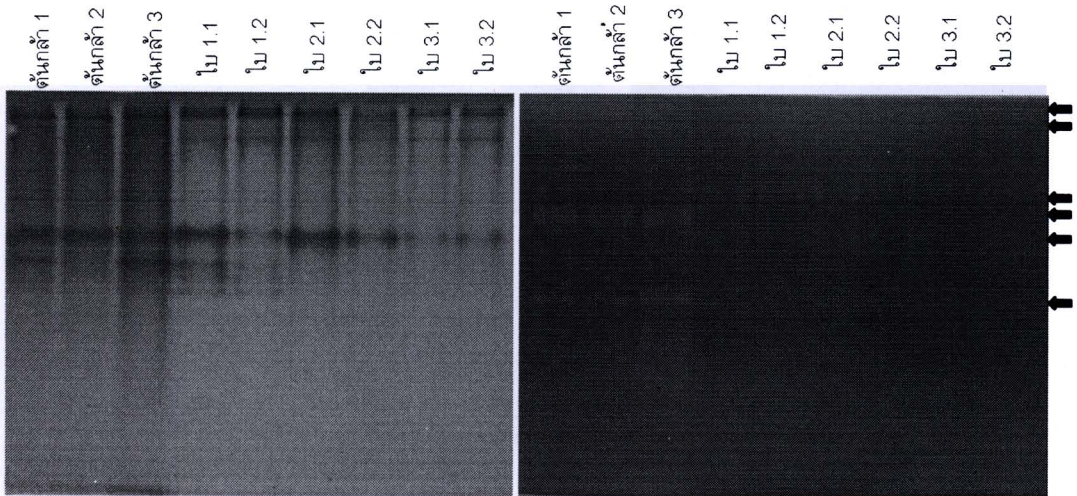
รูปที่ 4.13 Peroxidase isoenzyme ของใบพริกและตันกล้า



#### 4.1.4 การวิเคราะห์กิจกรรมเอนไซม์ซูเปอร์ออกไซด์ดิสมิวเทส

##### 4.1.4.1 ด้วยวิธีทางอิเล็กโตรโฟรีซิส (McCord and Frdovich, 1969)

การแยกโปรตีน 20 µg โดย 12% ND-PAGE และย้อมด้วย nitroblutetrazolium เพื่อดูตำแหน่งของ superoxide dismutase isoenzyme พบว่าเนื้อเยื่อใบพริกและต้นกล้ามีจำนวน isoenzyme แตกต่างกัน กล่าวคือ ต้นกล้า พบ 2 isoenzymes และใบพบอย่างน้อย 5 isoenzymes โดยพบใบพริกชนิดที่ 2 มี isoenzymes มากกว่า ใบชนิดที่ 1 และ 3 ดังรูปที่ 4.14



รูปที่ 4.14 Superoxide dismutase isoenzyme ของใบพริกและต้นกล้า

#### 4.1.5 การเหนี่ยวนำเนื้อเยื่อพริกให้เกิดโรค

เนื่องด้วยการเปรียบเทียบกิจกรรมเอนไซม์ในพริกที่ผ่านมาพบว่าอายุของใบพริกที่แตกต่างกันไม่สามารถใช้ในการเปรียบเทียบกันได้ ดังนั้นจึงได้หาแนวทางในการเหนี่ยวนำเนื้อเยื่อพริกที่อายุเท่ากันให้เกิดโรค เพื่อให้สามารถเปรียบเทียบกิจกรรมเอนไซม์ได้ ดังนั้นจึงได้นำเชื้อราสเปรย์หรือหยดบนใบพริกเพื่อให้ได้เนื้อเยื่อพริกที่มีอายุเท่ากันดังนี้

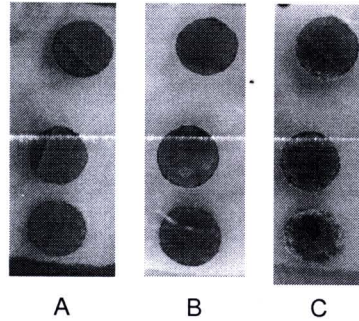
การทดลองเหนี่ยวนำเนื้อเยื่อพริกให้เกิดโรคด้วยวิธีการสเปรย์บน leaf disc ขนาดประมาณ 0.96 cm<sup>2</sup> ใช้เชื้อราก่อโรคกุ่มแห่งสายพันธุ์ F8-5B ที่มีความเข้มข้นของสปอร์เป็น 1 x 10<sup>6</sup> spore/ml ปริมาตรประมาณ 0.1 ml พบว่าเชื้อราสายพันธุ์ F8-5B มีความสามารถในการก่อโรคตั้งวันที่ 4 แต่ก่อโรคสูงที่สุดในวันที่ 7 จากการทดลองยังพบว่าที่หน้าใบและหลังใบให้เกิดการก่อโรคไม่แตกต่างกัน ดังตารางที่ 4.1 และรูปที่ 4.15

ตารางที่ 4.1 การเกิดโรคด้วยเชื้อราสายพันธุ์ F8-5B โดยการสเปรย์บนใบพริก

วัน	F8-5B (1 x 10 <sup>6</sup> spore/ml, 0.1 ml)	
	หน้าใบ	หลังใบ
1	ND	ND
2	ND	ND
3	เริ่มมีแผลตามรอยช้ำขอบใบ	เริ่มมีแผลตามรอยช้ำขอบใบ
4	มีการช้ำน้ำเกือบทั้งใบ	มีการช้ำน้ำเกือบทั้งใบ
5	เนื้อเยื่อตายตามรอยช้ำน้ำ(สีน้ำตาล) บางใบ มีการเจริญของเส้นใยรา	เนื้อเยื่อตายรอบจุดช้ำน้ำ(น้ำตาล) บางใบมีการเจริญของเส้นใยรา

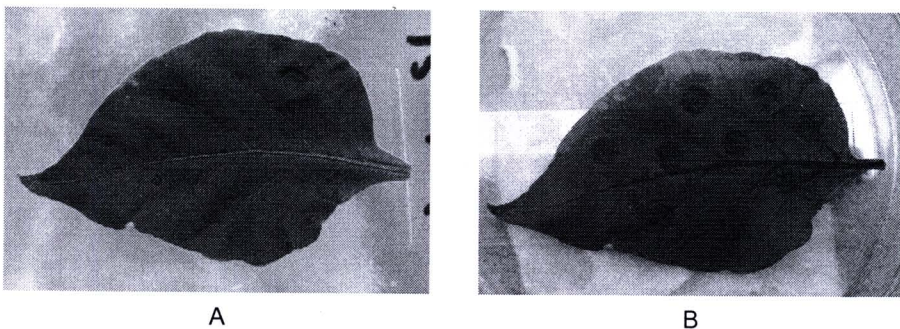
6	เนื้อเยื่อตาย(สีน้ำตาล)ตามรอยซ้ำน้ำ มีการเจริญของเส้นใยราทั่วไป	เนื้อเยื่อตาย(น้ำตาล) มีการเจริญของเส้นใยราทั่วไป
7	เนื้อเยื่อตาย(สีน้ำตาล)ตามรอยซ้ำน้ำ มีการเจริญของเส้นใยราทั่วไป	เนื้อเยื่อตาย(น้ำตาล) มีการเจริญของเส้นใยราทั่วไป

ND = not detectable



รูปที่ 4.15 การก่อโรคนบนใบโดยเชื้อราสายพันธุ์ F8-5B ( $1 \times 10^6$  spore/ml ปริมาตร 0.1 ml) ด้วยวิธีสเปรย์  
 A คือใบพริกที่สเปรย์ด้วยน้ำกลั่น วันแรก  
 B คือใบพริกที่สเปรย์ด้วยเชื้อราสายพันธุ์ F8-5B เป็นเวลา 4 วัน  
 C คือใบพริกที่สเปรย์ด้วยเชื้อราสายพันธุ์ F8-5B เป็นเวลา 7 วัน

พบว่าใบ 1 disc มีพื้นที่  $0.95 \text{ cm}^2$  และมีน้ำหนัก  $.0158$  กรัม ซึ่งไม่เพียงพอต่อการวิเคราะห์หาเอ็นไซม์ต่างๆ ซึ่งต้องการอย่างน้อย  $0.1$  กรัม ดังนั้นจึงทดสอบวิธีการทดสอบการก่อโรคนบนใบพริกด้วยวิธีการหยด ซึ่งใช้เชื้อราก่อโรคทั้งหมด 5 สายพันธุ์ คือ SKP16, F8-5B, CC.1.6, CC. 1.9, CC.1.12 ที่มีความเข้มข้นของสปอร์เป็น  $1 \times 10^5$  spore/ml พบว่าวิธีการหยดนั้นเมื่อเชื้อมีการก่อโรคนบนใบพริกจะก่อโรคในบริเวณที่หยดเชื้อและบริเวณใกล้เคียงเท่านั้น แต่ในขณะที่การวิเคราะห์หาเอ็นไซม์ชนิดต่างๆ ต้องทำทั้งใบ ซึ่งให้ผลการทดลองดังแสดงในรูปที่ 4.16



รูปที่ 4.16 การก่อโรคนบนใบพริกของเชื้อราสายพันธุ์ CC. 1.9 ( $1 \times 10^6$  spore/ml) ด้วยวิธีหยดจุดละ 0.1 ml  
 A คือใบพริกที่สเปรย์ด้วยน้ำกลั่น  
 B คือใบพริกที่สเปรย์ด้วยเชื้อราสายพันธุ์ CC. 1.9

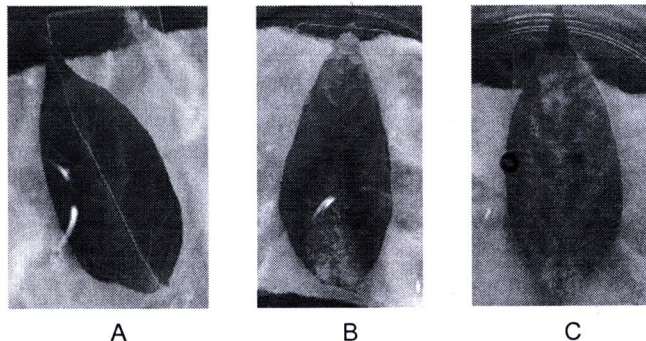
จากผลการทดลองการเหนี่ยวนำเนื้อเยื่อพริกให้เกิดโรคด้วยวิธีการหยดบนใบพริกที่เจาะให้มีขนาดเท่ากัน จึงมีการพัฒนาวิธีการเป็นการสเปรย์บนใบพริก เพื่อให้ได้พื้นที่ที่เพียงพอและการเกิดการก่อโรคทั่วทั้งใบ โดยได้ทำการทดลองการสเปรย์ด้วยสีแล้วหาพื้นที่ใบ ก่อนที่ทำการสเปรย์ด้วยเชื้อก่อโรค ใบพริกมีพื้นที่ เท่ากับ  $19.68 \text{ cm}^2$  เมื่อทำการสเปรย์ด้วยสีมีพื้นที่ที่ถูกสเปรย์ เท่ากับ  $16.72 \text{ cm}^2$  โดยที่สเปรย์ 1 ครั้งมีปริมาตร  $0.12$  มิลลิลิตร เมื่อ

เปรียบเทียบการก่อโรคของเชื้อรา 5 สายพันธุ์ คือ SKP16, F8-5B, CC.1.6, CC. 1.9, CC.1.12 ที่มีความเข้มข้นของสปอร์เป็น  $1 \times 10^6$ ,  $1 \times 10^7$  spore/ml พบว่าเชื้อราสายพันธุ์ F8-5B มีความสามารถในการก่อโรคสูงกว่าสายพันธุ์ SKP16 และที่ความเข้มข้นของสปอร์ที่  $1 \times 10^7$  spore/ml มีความสามารถในการก่อโรคสูงกว่าที่ความเข้มข้นของสปอร์เป็น  $1 \times 10^6$  spore/ml และจากการทดลองยังพบว่าที่หน้าใบและหลังใบให้เกิดการก่อโรคไม่แตกต่างกัน ซึ่งให้ผลการทดลองดังตารางที่ 4.2 และแสดงในรูปที่ 4.17

**ตารางที่ 4.2** การเกิดโรคด้วยเชื้อราสายพันธุ์ F8-5B และ SKP16 โดยการสเปรย์บนใบพริก

วัน	F8-5B		SKP16	
	$1 \times 10^6$ spore/ml	$1 \times 10^7$ spore/ml	$1 \times 10^6$ spore/ml	$1 \times 10^7$ spore/ml
1	ND	ND	ND	ND
2	ND	จุดสีดำ	ND	จุดสีดำ
3	ND	จุดสีดำ	จุดสีดำ	จุดสีดำกระจายทั่วใบ
4	จุดแผลช้ำน้ำตามขอบใบ	จุดแผลช้ำน้ำ	จุดสีดำกระจายทั่วใบ	จุดแผลช้ำน้ำ
5	จุดแผลช้ำน้ำ	เนื้อเยื่อตายรอบจุดช้ำน้ำ (น้ำตาล)	จุดแผลช้ำน้ำ	เนื้อเยื่อตายรอบจุดช้ำน้ำ (น้ำตาล)
6	เนื้อเยื่อตายรอบจุดช้ำน้ำ (น้ำตาล) มีการเจริญของเส้นใยรา	เนื้อเยื่อตาย(น้ำตาล) บริเวณกว้างขึ้นมีการเจริญของเส้นใยรา	เนื้อเยื่อตาย(น้ำตาล) มีแผลใหม่ที่ขอบใบ	เนื้อเยื่อตาย(น้ำตาล)บริเวณกว้างขึ้น
7	เนื้อเยื่อตาย(น้ำตาล) มีการเจริญของเส้นใยรา	เนื้อเยื่อตาย(น้ำตาล) มีการเจริญของเส้นใยราทั่วใบ	เนื้อเยื่อตาย(น้ำตาล) ใบเริ่มเหลือง	เนื้อเยื่อตาย(น้ำตาล) มีการเจริญของเส้นใยรา

ND = not detectable



**รูปที่ 4.17** การก่อโรคบนใบพริกจากเชื้อราสายพันธุ์ F8-5B ด้วยวิธีสเปรย์

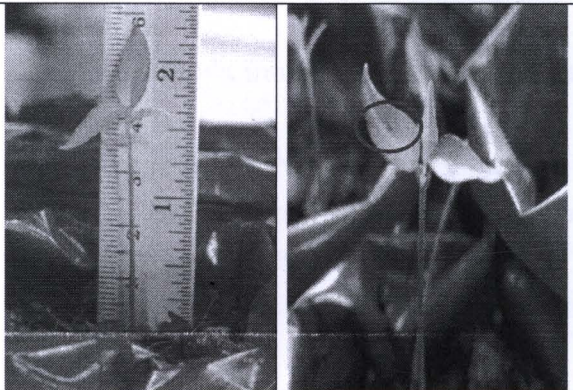
A คือใบพริกที่สเปรย์ด้วยน้ำกลั่น

B คือใบพริกที่สเปรย์ด้วยเชื้อราสายพันธุ์ F8-5B เป็นเวลา 4 วัน

C คือใบพริกที่สเปรย์ด้วยเชื้อราสายพันธุ์ F8-5B เป็นเวลา 7 วัน

แต่อย่างไรก็ตามการเจริญของต้นพริกเป็นไปด้วยความล่าช้า จึงได้ทดลองทำการทดสอบกับต้นกล้าเพื่อศึกษาการเปลี่ยนแปลงกิจกรรมเอนไซม์ของต้นที่ถูกเหี่ยวนาให้เกิดโรคในวันที่ 7 และวันที่ 8 ทั้งนี้พื้นที่ต้นพริกทั้งต้นมีพื้นที่ เท่ากับ  $2.805 \text{ cm}^2$  ซึ่งมีน้ำหนักโดยเฉลี่ย เท่ากับ  $0.1456$  กรัม จากการการสเปรย์บนต้นพริกพบว่าเริ่มเห็นรอยช้ำน้ำในวันที่ 3 หลังจากการสเปรย์เชื้อก่อโรคแต่จะมองเห็นแผลและรอยช้ำน้ำที่ชัดเจนในวันที่ 7 และ 8 หลังจากการสเปรย์เชื้อก่อโรค ดังนั้นการการทดลองในขั้นต่อไปจะใช้ใบที่มีอายุเท่ากันในการทดสอบ

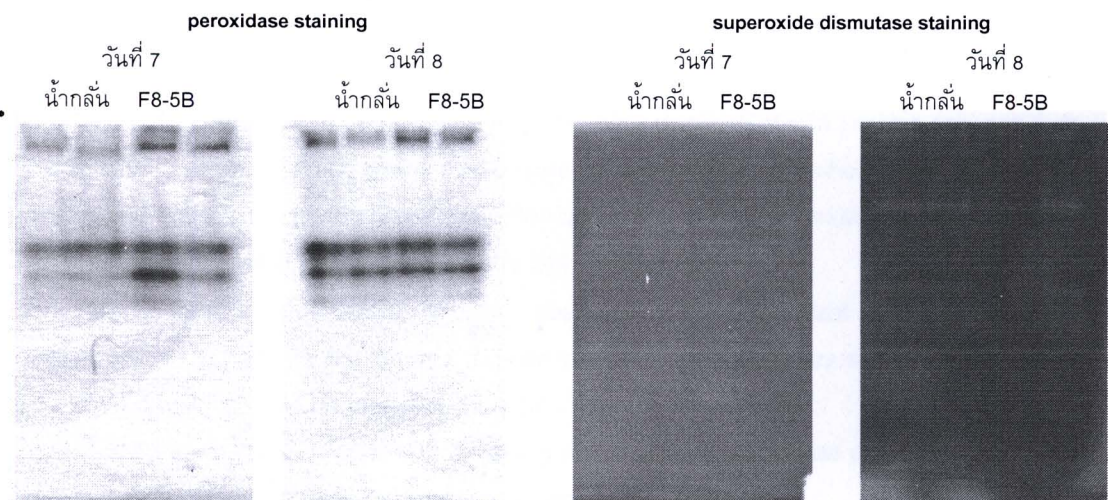
ตารางที่ 4.3 การเหนี่ยวนำต้นอ่อนพริกให้เกิดโรคด้วยเชื้อราสายพันธุ์ F8-5B ( $1 \times 10^7$  spore/ml)

วัน	อายุ 28 วัน	
1	ND	
2	ND	
3	เริ่มมีจุดช้ำน้ำ	
4	จุดแผลช้ำน้ำ	
5	จุดแผลช้ำน้ำ	
6	จุดแผลช้ำน้ำ	
7	จุดแผลช้ำน้ำ	
8	จุดแผลช้ำน้ำ	A สเปรย์ด้วยน้ำกลั่น      B สเปรย์ด้วยเชื้อรา 6 วัน

นอกจากนั้นพบว่ามิกิจกรรมของเอนไซม์ต่าง ๆ เป็นดังตารางที่ 4.4 และการย้อมแอกติวิตี้ของเปอร์ออกซิเดสและซูเปอร์ออกไซด์ดิสมิวเทส เป็นดังรูปที่ 4.18 พบว่ากิจกรรมของเอนไซม์คะตะเลสมีการเปลี่ยนแปลงระหว่างวันที่ 7 และ 8 แต่ไม่พบว่า F8-5B เหนี่ยวนำให้มีคะตะเลสสูงขึ้น แต่ต่างจากเปอร์ออกซิเดสที่ F8-5B เหนี่ยวนำให้มิกิจกรรมได้สูงในวันที่ 7 แต่มีระดับที่ใกล้เคียงกับน้ำกลั่นในวันที่ 8 ผลที่ได้สอดคล้องกับการย้อมแอกติวิตี้ และพบซูเปอร์ออกไซด์ดิสมิวเทสมีจำนวน isoenzyme ในวันที่ 8 ได้มากกว่าวันที่ 7 ทั้งนี้ในการทดลองลำดับถัดไปนั้นจะเป็นการทดสอบเอนไซม์ของต้นกล้าที่มีอายุเท่ากันในเวลาต่อไป

ตารางที่ 4.4 การเปรียบเทียบกิจกรรมเอนไซม์คะตะเลส เปอร์ออกซิเดส

วันที่	catalase unit		peroxidase unit	
	$H_2O_2$ ที่สลาย/นาที่/mg protein		$A_{470}$ /นาที่/mg protein	
	น้ำกลั่น	F8-5B	น้ำกลั่น	F8-5B
7	$0.116 \pm 0.003$	$0.123 \pm 0.077$	$19.19 \pm 3.35$	$27.63 \pm 5.39$
8	$0.949 \pm 0.131$	$0.615 \pm 0.259$	$42.38 \pm 6.36$	$47.87 \pm 9.23$



รูปที่ 4.18 การย้อมแอกติวิตี้ของเปอร์ออกซิเดสและซูเปอร์ออกไซด์ดิสมิวเทสของต้นกล้าพริก